

## III-B 218 アースアンカーの引き抜き抵抗に関する基礎的実験

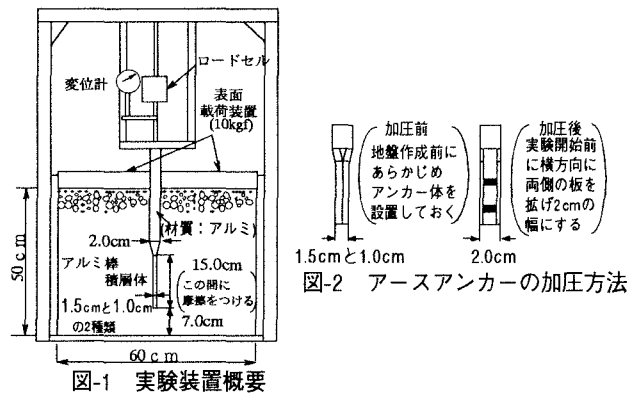
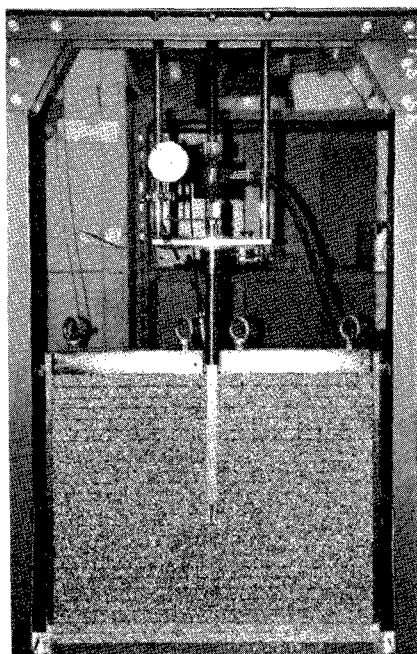
大阪産業大学	学生員	島元 保道
大阪産業大学	正会員	玉野 富雄
近畿大学	正会員	久武 勝保
関西土質研究センター	正会員	井上 啓司

## 1.はじめに

アースアンカーとして摩擦形式のグラウト加圧アースアンカーが多用されている。その引き抜き抵抗力の発生力学機構については、地盤・施工状態と密接に関係するため不明な点が多く残されている。本報告では、アルミ棒積層体を用いて摩擦形式の加圧アースアンカーの引き抜き抵抗に関する基礎的実験結果について述べる。

## 2.実験装置と実験方法

実験装置を写真-1に、実験装置概要を図-1に示す。アルミ棒積層体は長さ5cmで、直径1.6mmと3.0mmのアルミ棒を重量比で3:2に混合したものである<sup>1)</sup>。アルミ棒積層体の作成は5cmを一層として10層(計50cm)積み上げる。この際、1層積み上げる度にへらを使って垂直に5cmの深さで3回上下に突き固め、これを1cm間隔に行い、この作業を往復2回行ったものを密層(単位体積重量 $\gamma$ :2.19kgf/cm<sup>3</sup>)とし、突き固めをせずそのままの状態で10層、積み上げたものをゆるい層(単位体積重量 $\gamma$ :2.17kgf/cm<sup>3</sup>)とした。アースアンカ一体の摩擦はアルミ棒接着(摩擦大)・サンドペーパー接着(摩擦中)・接着なし(摩擦小)の3種類に設定した。アースアンカーの加圧は、加圧大(幅を1.0cmから2.0cmに増大させる)・加圧小(幅を1.5cmから2.0cmに増大させる)・無加圧の3種類を設定した。加圧方法は図-2に示す。実験は、密・ゆるい、加圧大・中・小、摩擦大・中・小、表面載荷ある・なし、をパラメーターとして各3回づつ計108回行った。



## 3.実験結果と考察

図-3、4、5に実験結果を例示する。また、写真-2、3に引き抜き状態での多重撮影結果を例示する。なお、各ケースでの実験結果の再現性は極めて良好であった。

これらの実験結果より、ゆるい層・加圧小・摩擦小の場合では、アースアンカ一体表面すべりが生じ、密層・加圧大・摩擦大では、写真-2、3に示すようなアルミ棒積層体中に顕著なすべり線が発生している。その結果として、引き抜き抵抗(すべり線での抵抗力とすべり線内のアルミ棒の重量の和)に大きな差が生じている<sup>2)</sup>。

アースアンカ一体の加圧により、アースアンカ一体周辺よりかなりの範囲でアルミ棒積層体はより密な状態 ( $\gamma = 2.25 \text{ kgf/cm}^3$  程度) に移行し、各ケースで引き抜き抵抗力は増大している。密層では、加圧大・小で増大差に大きな差が生じていないのに対し、ゆるい層では、加圧の大きさに対応して増大している。摩擦小・中・大では順に引き抜き抵抗力は増大し、また、表面載荷により、各ケースで載荷なしの場合に比べて引き抜き抵抗力は増大している。

#### 4.まとめ

アルミ棒積層体モデルを用いての基礎的実験により、加圧・摩擦形式のアースアンカーの引き抜き抵抗力は地盤・加圧・摩擦状態により大きく影響を受けることが明らかにできた。

#### 参考文献

- 足立紀尚・田村 武・八島 厚・上野 洋：砂質地山トンネルの挙動と解析に関する研究、土木学会論文集、No.358/Ⅲ-3, pp.129-136, 1985.
- 林 鍾鉄・龍岡文夫・宮崎啓一：砂地盤内の剛な鉛直アンカーの引き抜き抵抗メカニズム、土と基礎、38-5 (388), pp.33-38, 1990.

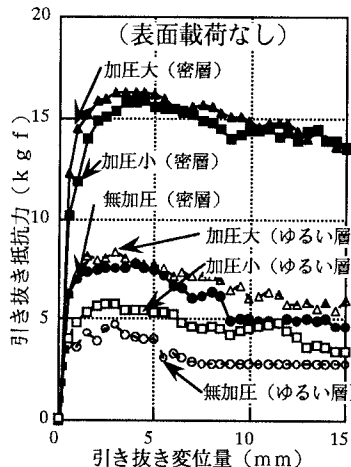


図-3 加圧形式の違いによる  
引き抜き抵抗力と変位量の関係  
(摩擦大)

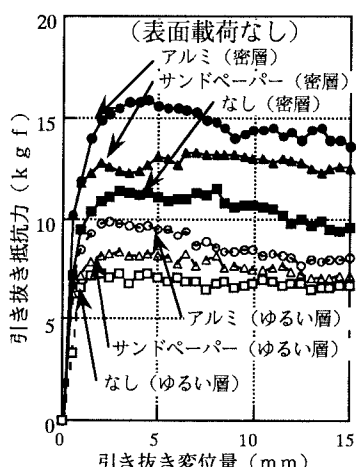


図-4 摩擦形式の違いによる  
引き抜き抵抗力と変位量の関係  
(加圧大)

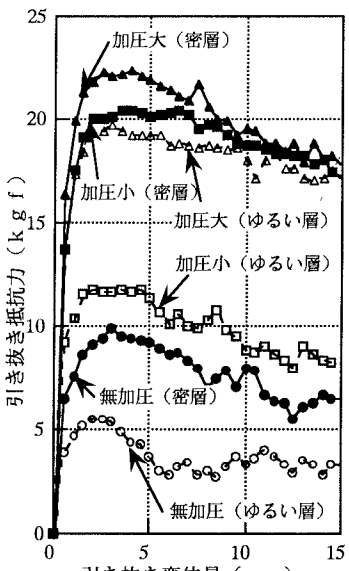


図-5 表面載荷時の摩擦形式の  
違いによる引き抜き抵抗力  
と変位量の関係(摩擦大)

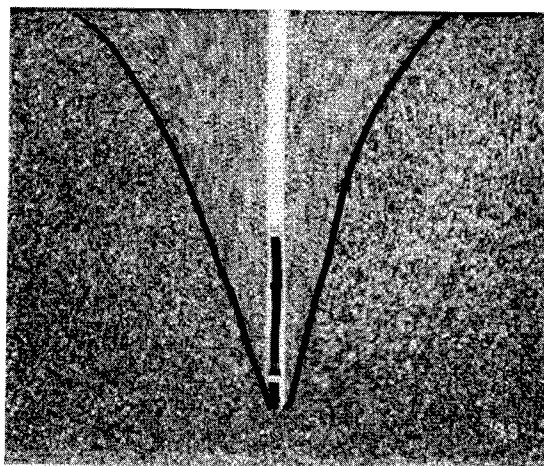


写真-2 密層・加圧大・摩擦大  
の引き抜き状況

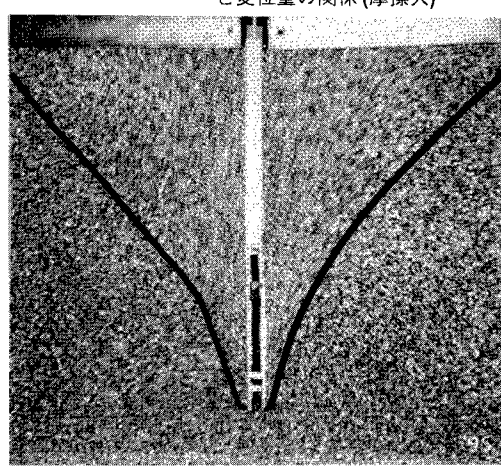


写真-3 表面載荷時の  
密層・加圧大・摩擦大の引き抜き状況